

اثر فرمول بندی‌های مختلف بر واکنش پلیمرشدن امولسیونی وینیل کلرید

مجله علوم و تکنولوژی پلیمر،
سال بیست و چهارم، شماره ۳،
صفحه ۲۱۴-۲۰۵، ۱۳۹۰

ISSN: 1016-3255

سید مهرداد جلیلیان*، فرشید ضیایی

تهران، پژوهشگاه پلیمر و پتروشیمی ایران، صندوق پستی ۱۴۹۶۵-۱۱۵

دریافت: ۹۰/۶/۲۸ پذیرش: ۸۹/۱۱/۱۶

چکیده

امولسیون‌کننده‌ها از اهمیت بسزایی در واکنش‌های پلیمرشدن امولسیونی برخوردارند. مقدار و نوع امولسیون‌کننده روی تمام پارامترهای واکنش از جمله اندازه و توزیع ذرات و وزن مولکولی پلیمر مؤثر است. در این پژوهش، با توجه به اهمیت پلی‌وینیل کلرید امولسیونی، اثر مختلف امولسیون‌کننده‌های یونی سدیم لوریل سولفات و غیریونی استئاریل الکل روی پارامترهای مختلف واکنش پلیمرشدن امولسیونی وینیل کلرید بررسی شده است. نتایج نشان می‌دهد، اندازه ذرات پلی‌وینیل کلرید با افزایش مقدار ترکیب درصد سامانه امولسیون‌کننده‌های یونی و غیریونی کاهش می‌یابد. هم‌چنین، با افزایش مقدار مونومر وینیل کلرید و ثابت بودن سایر اجزا در فرمول‌بندی، مقدار گرمای آزادشده واکنش در نقطه ژل افزایش می‌یابد. وزن مولکولی پلیمر با افزایش دمای واکنش کاهش و با ازدیاد ترکیب درصد امولسیون‌کننده افزایش پیدا می‌کند. بررسی ساختاری نمونه پلی‌وینیل کلرید سنتزی به کمک طیف‌های ^{13}C NMR و FTIR گویای عدم وجود نقص در ساختار زنجیر پلیمر است. با بهینه کردن شرایط واکنش پلیمرشدن امولسیونی پودر وینیل کلرید سنتز شده دارای اندازه ذرات و توزیع مناسبی است که در پلاستی سول‌ها به کار می‌رود.

واژه‌های کلیدی

پلی‌وینیل کلرید،
پلیمرشدن امولسیونی،
امولسیون‌کننده،
وزن مولکولی،
اندازه ذرات

* مسئول مکاتبات، پیام‌نگار:
m.djalilian@ippi.ac.ir

مقدمه

پایداری شیرابه بسیار مؤثراند [۲۴]. Toma's و همکاران نشان دادند، با تغییر ترکیب در صد مقادیر امولسیون‌کننده‌های یونی سدیم لوریل سولفات و سدیم اکتیل سولفات به امولسیون‌کننده غیریونی ستیل‌الکل می‌توان به توزیع مناسب و اندازه ذرات مورد نظر در پلیمرشدن امولسیونی وینیل کلرید دست یافت [۲۵].

در این پژوهش، از ترکیب امولسیون‌کننده‌های آئیونی سدیم لوریل سولفات و غیریونی استئاریل‌الکل‌ها در واکنش پلیمرشدن امولسیونی وینیل کلرید استفاده شد. هدف از این مطالعه، بررسی عوامل مؤثر فرایندی و فرمول‌بندی‌های مختلف به منظور دست‌یابی به توزیع اندازه ذرات و وزن مولکولی مشخص در فرایند تولید شیرابه‌های پلی‌وینیل کلرید با به کارگیری این سامانه امولسیون‌کننده است. در این راستا اثر دمای واکنش و مقدار مونومر وینیل کلرید روی نقطه ژل بررسی شد. هم‌چنین، اثر غلاظت ترکیب امولسیون‌کننده‌ها بر وزن مولکولی و توزیع آن و اندازه ذرات مطالعه شد.

تجربی

مواد

مونومر وینیل کلرید (VCM) از پتروشیمی بندر امام با خلوص ۹۹/۹٪ تهییه و بدون خالص‌سازی استفاده شد. از سدیم‌استاتات (NaAC) به عنوان بافر، سدیم لوریل سولفات (SLS) و استئاریل‌الکل (SA) به عنوان امولسیون‌کننده، پتامیم پرسولفات (KPS) به عنوان آغازگر و متانول، تتراهیدروفوران و سیکلوهگزانون به عنوان حلال استفاده شد. تمام مواد آزمایشگاهی محصول شرکت Merck بودند. از آب دوبار تقطیر نیز در تمام آزمایش‌ها استفاده شد.

دستگاه‌ها

وزن مولکولی متوسط وزنی و عددی به وسیله دستگاه رنگ‌نگار ژل تراوای (GPC) Waters مدل 1100 مجهز به آشکارساز ضریب شکست تفاضلی ساخت شرکت Agilent اندازه‌گیری شد. از حلال تتراهیدروفوران با سرعت 1 mL/min به عنوان فاز متحرک و از پلی‌استیرن استاندارد برای کالیبره کردن دستگاه GPC استفاده شد. طیف‌سنج Bruker مدل IFS48 برای گرفتن طیف FTIR به کار گرفته شد. طیف ^{13}C NMR به کمک طیف‌سنج با قدرت مغناطیسی MHz ۴۰۰ مدل AVANCE در حلال تتراهیدروفوران دوتریم دار (Mini Spray Dryer) برداشت شد. از دستگاه خشک‌کن افشاره‌ای (Buchi B-191) ساخت شرکت Buchi برای تهییه پودر پلی‌وینیل

پلی‌وینیل کلرید (PVC) از پرصرف‌ترین پلیمرهای سنتزی پس از پلی‌اولفین‌ها به شمار می‌آید که از روش‌های پلیمرشدن تعلیقی، توده و امولسیونی تولید می‌شود [۴-۱]. پوشش‌ها، رنگ‌ها، محصولات قالب‌گیری و الیاف برخی از کاربردهای متنوع پلی‌وینیل کلرید امولسیونی است که سهم آنها از مقدار کل تولید سالیانه PVC در حدود ۱۵٪ است. این مسئله باعث شده است تا به منظور دست‌یابی به پلیمری با مشخصات و پارامترهای مورد نظر، فرمول‌بندی‌های متفاوتی ارایه شود [۵-۹].

پلیمرشدن امولسیونی وینیل کلرید مستلزم پراکنش مونومرآلی وینیل کلرید در فاز آبی به همراه امولسیون‌کننده و آغازگر رادیکالی محلول در آب است. احلال پذیری محلود و کم پلی‌وینیل کلرید در مونومر آن باعث شده است که کترول شرایط واکنش پلیمرشدن امولسیونی وینیل کلرید نسبت به سایر مونومرها دشوارتر باشد. نوع و مقدار امولسیون‌کننده، دما، نسبت وزنی مونومر آبی به فاز آبی، سرعت هم‌زن و pH یا مقدار اسیدی محلول از عوامل مهم در پلیمرشدن امولسیونی وینیل کلرید هستند که مقالات بسیاری در این زمینه گزارش شده است [۱۰-۱۲].

شرایط واکنش و نیز خواص نهایی محصول پلیمرشدن امولسیونی، تابع نوع و مقدار امولسیون کننده است. نمک‌های سدیم آلکیل سولفات، آلکیل بنزن سولفونات‌ها، آلکیل فنول‌ها، سولفوکسینات‌ها و اسیدهای چرب اتوکسیل دار از امولسیون‌کننده‌های متداول در پلیمرشدن امولسیونی وینیل کلرید هستند. سطح مؤثر ذرات پودر (BET)، مقدار K (K-value)، وزن مولکولی، پایداری مکانیکی، رنگی و گرمایی پلاستی سول‌ها که از توزیع پودر پلی‌وینیل کلرید امولسیونی با نرم‌کننده‌ها به دست می‌آید، تحت تأثیر نوع و مقدار امولسیون‌کننده قرار دارد [۱۳-۱۸].

اثر مستقیم غلاظت امولسیون‌کننده روی متغیرهای عملیاتی و توزیع اندازه ذرات پلی‌وینیل کلرید در مجاورت امولسیون‌کننده سدیم دودسیل بنزن توسط Pourmehr و همکاران بررسی شد. نتایج آماری این پژوهش نشان داد، اندازه ذرات پلی‌وینیل کلرید امولسیونی به غلاظت امولسیون‌کننده وابسته است [۱۹].

امروزه به کارگیری مخلوط امولسیون‌کننده‌ها به منظور پایداری بیشتر شیرابه و توزیع اندازه ذرات مناسب در پلیمرشدن امولسیونی وینیل کلرید بسیار مورد توجه قرار گرفته است [۲۰-۲۴]. نتایج پژوهش Pham در به کارگیری مخلوط امولسیون‌کننده‌های سدیم لوریل سولفات و ستیل‌الکل در واکنش پلیمرشدن امولسیونی وینیل کلرید نشان می‌دهد، مخلوط امولسیون‌کننده‌ها در کاهش گرانروی و

شیرابه، از راه وزن‌سنجی شیرابه خشک شده و با قرار دادن درون گرم‌خانه خلاء به مدت ۲۴ h معین شد. شیرابه نهایی به وسیله دستگاه خشک‌کن افشارهای خشک شد.

مقدار K پلیمرهای سنتز شده طبق استانداردهای موجود اندازه‌گیری شد [۲۶، ۲۷]. در این روش g ۰/۵ از نمونه پلیمر در ۱۰۰ mL حلال سیکلوهگزانون حل شد و گرانزوی محلول و حلال خالص در دمای ۲۵°C در گرانزوی سنج Abelholde بر حسب زمان عبور معین و مقدار K مطابق با معادله (۱) محاسبه شد:

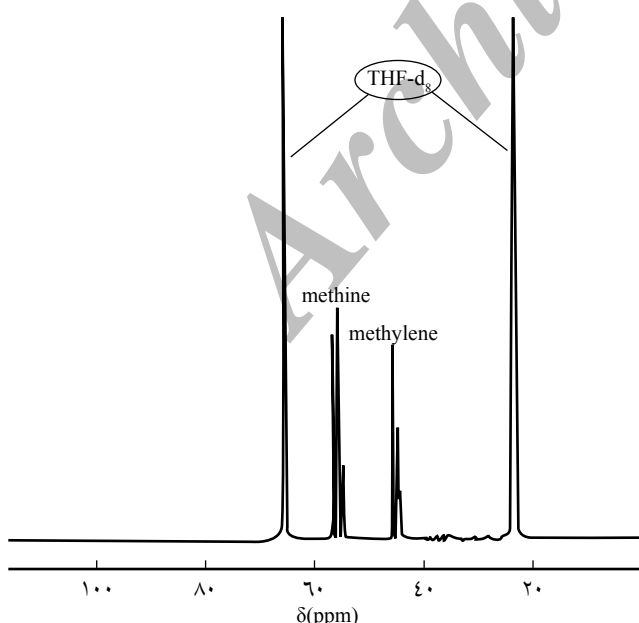
$$K = \frac{1.5 \log \eta_r - 1 \pm [1 + (2/C + 2 + 1.5 \log \eta_r) 1.5 \log \eta_r]^{1/2}}{0.15 + 0.3C} \times 100 \quad (1)$$

η_r گرانزوی نسبی و C غلظت محلول بر حسب گرم پلیمر در ۱۰۰ میلی لیتر حلال است.

نتایج و بحث

شناسایی پلی‌وینیل کلرید سنتز شده

شکل ۱ طیف ^{13}C NMR پلی‌وینیل کلرید را در حلال تتراہیدروفوران دوتریم دار و دمای ۲۰°C نشان می‌دهد. پروتون‌های متین و متیلن پلی‌وینیل کلرید به ترتیب در محدوده‌های ۵۶/۹ – ۵۴/۳ ppm و ۴۵/۹ – ۴۳/۷ ppm مشاهده می‌شوند. جذب نواحی ۶۱۳ و ۷۰۴ cm^{-1}



شکل ۱- طیف ^{13}C NMR پلی‌وینیل کلرید در حلال تتراہیدروفوران دوتریم دار و در دمای ۲۰°C.

کلرید از شیرابه استفاده شد. توزیع و اندازه ذرات خشک شده با میکروسکوپ الکترونی پویشی (SEM) نوع S-360 ساخت شرکت Cambridge Instruments بررسی شد. اندازه ذرات شیرابه با دستگاه پراکنده‌گی نور لیزر مدل SEM-633 ساخت شرکت Sematech و سطح مؤثر ذرات پودر پلی‌وینیل کلرید به وسیله دستگاه CHEMBET مدل 3000 ساخت شرکت Quantachrom معین شد.

روش‌ها پیمودن

سنتز پلی‌وینیل کلرید در راکتور زیر فشار از جنس فولاد ضدزنگ مجهر به ترمومکوپ، خنک‌کننده و مبدل گرمایی با ظرفیت ۱/۸ L ساخت شرکت Parr انجام شد. برای اختلاط مواد از پره توربینی که از راه آب‌بند مکانیکی به دینام متصل است و چهار موج‌گیر که در دیواره جانی راکتور قرار گرفته‌اند، استفاده شد. برای کنترل دقیق دمای راکتور، از خنک‌کننده آب سرد استفاده شد که به طور خودکار با فرمان ترمومکوپ وارد مدار می‌شد. انتقال مونومر گازی وینیل کلرید از سیلندر به راکتور، به کمک سامانه سنجشی با دقت $g \pm 1$ انجام شد. در ابتدا مطابق با فرمول‌بندی مقدار اجرا در جدول ۱، سدیم لوریل سولفات به عنوان امولسیون‌کننده یونی، سدیم استات به عنوان بافر، استئاریل الكل به عنوان امولسیون‌کننده غیریونی و آب به راکتور وارد و در دمای ۵۰°C تا اتحال کامل مواد هم زده شد. با کاهش دادن دمای محلول تا دمای محیط، پتانسیم پرسولفات اضافه شد و در شرایط جو گاز نیتروژن و دور هم زن rpm ۴۰۰، مونومر وینیل کلرید به وسیله سامانه سنجشی به راکتور تزریق شد. با ورود مونومر و افزایش دمای راکتور تا دمای ۵۵°C، فشار راکتور افزایش یافت. واکنش پس از مدت زمان لازم در مقدار تبدیل ۹۰ درصد با کاهش فشار راکتور متوقف و مونومر باقی‌مانده از مخلوط واکنش جدا شد. درصد جامد

جدول ۱- فرمول‌بندی مقدار اجرا.

مقدار اجرا (g)						واکنش
H_2O	NaAC	SA	SLS	KPS	VCM	
۷۷۰	۲/۵	۲/۱	۳/۳۶	۱/۱۲	۱۶۰	۱
۷۷۰	۲/۵	۲/۷۶	۴/۴۱	۱/۱۲	۴۲۰	۲
۷۷۰	۲/۵	۳/۱۶	۵/۰۵	۱/۱۲	۵۹۰	۳
۸۱۲	۲/۵	۵/۵۱	۸/۸۲	۱/۱۲	۴۲۰	۴
۸۲۶	۲/۵	۸/۲۳	۱۳/۲۳	۱/۱۲	۴۲۰	۵
۸۴۰	۲/۵	۱۱/۰۲	۱۷/۶۴	۱/۱۲	۴۲۰	۶

تعیین جزء وزنی وینیل کلرید در دو فاز مایع و گاز

فشار راکتور با ورود مونومر وینیل کلرید در دمای محیط در حدود ۱۲۰ psi است که با افزایش دمای راکتور تا ۵۵°C، فشار نیز تا VCM افزایش می یابد. با مشخص بودن حجم راکتور می توان مقدار VCM را در دو فاز مایع و گاز محاسبه کرد.

اگر V_f حجم راکتور، V_r حجم آزاد بالای سطح مایع پیش از ورود VCM، m_f نمایانگر جرم هر جزء، M_r و M_f جرم و حجم محلول که تقریباً یکسان در نظر گرفته می شود، باشند خواهیم داشت:

$$V_f = M_f = m_{H_2O} + m_{KPS} + m_{SLS} + m_{NaAC} + m_{ST} \quad (2)$$

$$V_f = 780 \text{ ml}$$

$$V_f = V_r - V_L = 1800 - 780 = 1020 \text{ ml} = 1.02 \text{ L}$$

با توجه به این که مقدار g ۴۲۰ مونومر وینیل کلرید به راکتور وارد شد، بنابراین با توجه به معادله ویریال برای گازهای غیرایده‌آل، مقدار وزنی VCM در فاز گازی (W_{VCM}) به دست می آید:

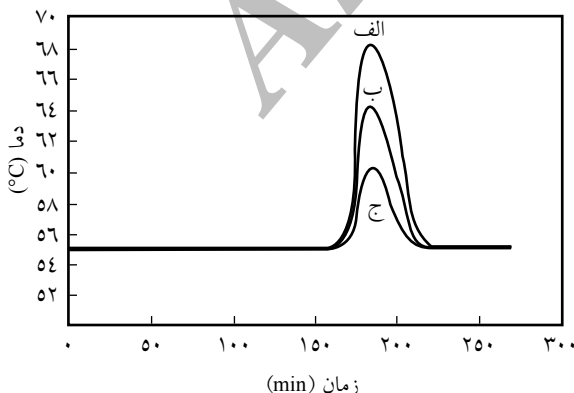
$$PV_f = ZnRT \quad (3)$$

Z ضریب تراکم پذیری وینیل کلرید در دمای ۵۵°C و برابر با ۰/۹ [۳۰] و n تعداد مول گاز VCM است:

$$8/13 \times 1.02 = 0.9 \times (W_{VCM} / 62/5) \times 0.082 \times (273+55)$$

$$W_{VCM} = 21/41$$

این مقدار VCM معادل با ۱/۵ درصد از مونومر VCM ورودی است که در فاز گازی در ابتدا پلیمر شدن وجود دارد. به هنگام ورود



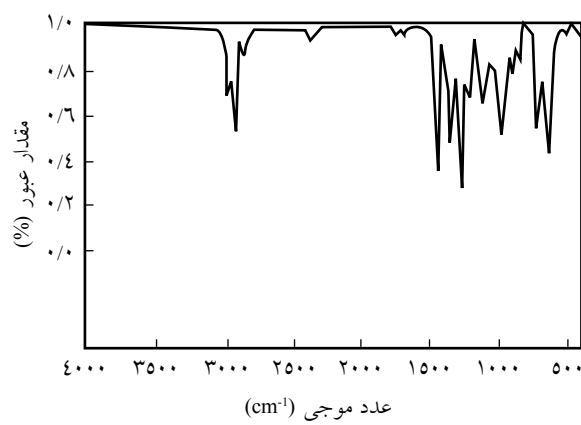
شکل ۳- مقدار گرمای آزاد شده پلیمر شدن در اثر افزایش درصد مونومر ورودی: (الف) ۴۳٪، (ب) ۳۵٪ و (ج) ۱۷٪.

در شکل ۲ مربوط به آرایش های همنظم و تکنظم پیوند C-Cl طیف FTIR پلی وینیل کلرید است.

نکته حائز اهمیت در شناسایی پلی وینیل کلرید سنتز شده شناسایی مقدار نظم فضایی و نواقص موجود در زنجیر پلیمر است. پلی وینیل کلرید از پلیمرهای شاخصی است که در پلیمر شدن رادیکالی به شکل ^{13}C NMR بی نظم سنتز می شود. این مسئله با مطالعه طیف FTIR و ^{13}C NMR قابل بررسی است. با گمارش تمام توالی های فضایی پیک های کربن متیلن و متین از زنجیر اصلی پلی وینیل کلرید سنتز شده به وسیله NMR مقدار احتمال وجود توالی مزو ۰/۴۴۷ مزو ۰/۴۴۷ محاسبه شد که به ساختار اتفاقی ایده‌آل نزدیک است [۲۸].

مقدار نقص های موجود در زنجیر اصلی PVC در پلیمر شدن رادیکالی آزاد مونومر VCM به شکل سر به سر، دم به دم و تولید شاخه های جانبی گزارش شده است. Starnes درباره نقص های ساختاری زنجیر پلی وینیل کلرید نشان داد، در حالتی که ساختار زنجیر و آرایش فضایی آن به شکل سر به سر یا دم به دم باشد، کربن های متیلن و متین در طیف ^{13}C NMR به ترتیب در حدود ۶۱ ppm و ۴۰ ppm ظاهر می شوند. همچنین، در حالت شاخه ای شدن، احتمال جدا شدن هیدروژن از کربن متین در زنجیر اصلی است و حین واکنش، به ویژه در درصد تبدیل بیش از ۹۵ درصد، تشکیل کربن های نوع چهارم در پلی وینیل کلرید بیشتر است که در ناحیه ۷۰-۸۰ ppm مشاهده می شود [۲۹].

همان‌طور که در شکل ۲ مربوط به طیف ^{13}C NMR پلی وینیل کلرید حاصل از واکنش (۵) در دمای ۶۰°C مشخص است، هیچ کربنی در این نواحی ظاهر نشده است. بنابراین، به دلیل متوقف شدن واکنش در حدود ۹۰ درصد تبدیل و انجام واکنش در محدوده دمایی ۶۰°C مقدار شاخه ای شدن و نقص در زنجیر پلیمر به مقدار قابل توجهی کاهش یافته است.



شکل ۲- طیف FTIR پلی وینیل کلرید.

نحوی که در طول زمان واکنش دمای پلیمر شدن ثابت نگه داشته شود.

اثر دما

اثر دمای واکنش در مدت زمان رسیدن به نقطه ژل در شکل ۴ نشان داده شده است. آزمایش ها براساس دستور کار ترکیب اجزای واکنش (۴) و در دو دمای ۵۵ و ۶۰°C انجام شد. نتایج نشان می دهد، با افزایش دمای اولیه واکنش، مدت زمان رسیدن واکنش به نقطه ژل کاهش می یابد. این مسئله با اندازه گیری دمای آب خنک کننده خروجی به دست آمد که به طور مستقیم با گرمای آزاد شده از راکتور ارتباط دارد. با افزایش دمای واکنش، سرعت تجزیه آغازگر پتانسیم پرسولفات بیشتر می شود و در نتیجه سرعت پلیمر شدن افزایش می یابد. هم چنان، افزایش دمای اولیه واکنش نیز از ۵۵ به ۶۰°C موجب می شود که مقدار گرمای آزاد شده از واکنش پلیمر شدن در نقطه ژل، افزایش یابد. به بیان دیگر، هر چه مقدار دمای اولیه واکنش بیشتر باشد، گرمای آزاد شده از واکنش پلیمر شدن در نقطه ژل بیشتر است.

اثر افزایش دمای واکنش بر مقادیر K در سه دمای ۵۰، ۵۵ و ۶۰°C با ثابت نگه داشتن درصد وزنی تمام اجزای واکنش از قبیل امولسیون کننده، آغازگر و درصد مونومر در جدول ۲ نشان داده شده است. نتایج حاکی از کاهش وزن مولکولی یا مقادیر K در اثر افزایش دمای واکنش است. براساس مطالعات Friis و همکارش در واکنش پلیمر شدن امولسیونی وینیل کلرید نسبت سرعت واکنش انتقال به اختتام بیش از ۵۰ برابر است. در نتیجه در معادله (۴) شاخص پراکندگی (D_p) از سرعت انتشار زنجیر (k_p) به انتقال زنجیر (k_{tr}) معین می شود [۳۱]:

$$\text{سرعت انتشار} / \text{سرعت انتقال زنجیر} = D_p \quad (4)$$

معادله تجربی (۵) که توسط Kuchanov و همکارش ارایه شده بستگی k_p و k_{tr} را به دما نشان می دهد [۳۲]:

$$D_p = \frac{K_p}{K_{tr}} = 9.2 \times 10^{-3} \exp(-7400 / RT) \quad (5)$$

جدول ۲- اثر دما بر مقادیر K.

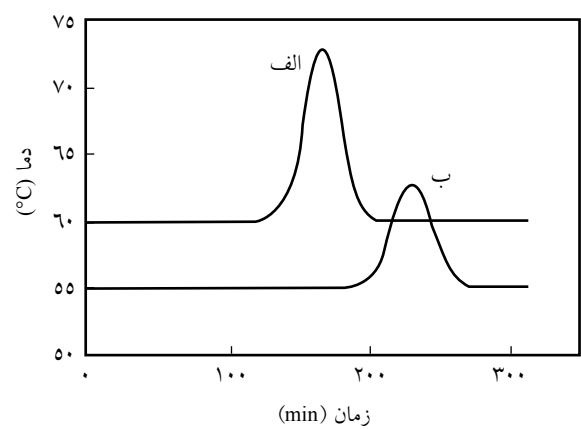
دما (°C)	مقدار K
۵۰	۶۶/۷
۵۵	۶۵/۵
۶۰	۶۳/۲

VCM، از حجم بالای سطح مایع اولیه (V) کاسته می شود و در ابتدا نزدیک به ۹۴/۹ درصد از حوراک ورودی VCM به راکتور در دمای پلیمر شدن در فاز مایع است. Hamielec و همکاران برای پلیمر شدن PVC، جزء مایع VCM را بیش از ۹۰ درصد گزارش کرده اند [۳۰].

اثر افزایش مقدار مونومر

در شکل ۳، مقدار گرمای آزاد شده پلیمر شدن در اثر افزایش درصد مونومر ورودی، بررسی شد. آزمایش در درصد های متفاوت ۱۷، ۳۵ و ۴۳ درصد مونومر وینیل کلرید و ثابت نگه داشتن درصد وزنی سایر اجزای فرمول بندی انجام و دمای آب خروجی از خنک کننده راکتور اندازه گیری شد. با پیش رفت واکنش پلیمر شدن زمانی که مقدار مونومر وینیل کلرید در فاز گازی به سرعت کاهش می یابد، گرانبروی ذرات پلیمری افزایش و سرعت واکنش های انتقال و اختتام کم می شود. در این زمان سرعت واکنش انتشار افزایش می یابد. این اثر که به عنوان اثر ژل شناخته می شود، با افزایش سریع درصد تبدیل و گرمای پلیمر شدن همراه است.

نتایج نشان می دهد، زمان رسیدن به نقطه ژل واکنش در درصد متفاوت مونومر یکسان است. اما به دلیل گرمای زیانی واکنش، مقدار گرمای آزاد شده با افزایش درصد مونومر وینیل کلرید افزایش می یابد. عدم کنترل این افزایش دمای واکنش می تواند پارامترهای مهمی مانند وزن مولکولی و توزیع آن و پایداری شیرابه را تحت تأثیر قرار دهد. قابل توجه است، این مقدار افزایش دمای واکنش در راکتوری با مقدار طرفیت عملیاتی ۱۵۰۰ mL مشاهده شده است. حال اگر طرفیت راکتور بیشتر شود و مقدار مونومر ورودی به تناسب افزایش پیدا کند، مقدار گرمای آزاد شده در مقیاس صنعتی مستلزم ساز است و باید این مقدار افزایش دما با طراحی و یا استفاده از چگالنده ها کنترل و جذب شود، به



شکل ۴- اثر دمای واکنش در زمان رسیدن به نقطه ژل: (الف) ۶۰°C و (ب) ۵۵°C.

آمدن شروع محدوده III و پایان محدوده II در پلیمر شدن امولسیونی به طور مشخص زمان واکنش را کاهش می دهد.

اثر غلظت امولسیون کننده بر وزن مولکولی و اندازه ذرات در جدول ۳ نشان داده شده است. همان طور که مشاهده می شود، با افزایش غلظت امولسیون کننده، وزن مولکولی پلیمر زیاد می شود. این امر به علت آن است که با افزایش غلظت امولسیون کننده، تعداد ذرات پلیمری در واحد حجم افزایش می یابد. بنابراین، غلظت آغازگر نسبت به غلظت ذرات پلیمر کمتر می شود و سهم هر ذره پلیمری به واسطه ورود رادیکال تجزیه شده در فاز آبی کاهش می یابد. این مسئله باعث رشد زنجیر پلیمر می شود و اختتام در حالت ورود رادیکال آزاد به درون ذرات پلیمر انجام می گیرد. از آن جا که احتمال ورود رادیکال آزاد به درون ذرات کاهش یافته است، بنابراین وزن مولکولی پلیمر افزایش می یابد. نتایج رنگ نگاری ژل تراوایی نشان می دهد، وزن مولکولی متوسط عددی (M_n) و وزنی (M_w) پلیمر ستزی دستور کار واکنش (۴) از جدول ۱ به ترتیب برابر با ۳۳۷۰۰ و ۷۱۲۵۰ g/mol و شاخص پراکندگی (D_p) برابر با ۲/۱۱ و با مقدار اندازه گیری شده K متناسب است [۳۳].

هم چنین، نتایج جدول ۳ اثر افزایش درصد امولسیون کننده را بر اندازه ذرات پلی وینیل کلرید نشان می دهد. اندازه گیری اندازه ذرات شیرابه به وسیله دستگاه پراکندگی نور نشان می دهد، با افزایش درصد امولسیون کننده اندازه ذرات شیرابه کاهش می یابد. تعداد میسل های تشکیل شده و به تبع آن تعداد ذراتی که مراکز اصلی واکنش پلیمر شدن هستند، رابطه مستقیمی بانوع و غلظت امولسیون کننده دارد.

براساس معادله (۶) اندازه ذرات با تعداد ذرات پلیمر رابطه عکس دارد، بنابراین می توان با کنترل غلظت امولسیون کننده به اندازه ذرات مشخص رسید [۳۴]:

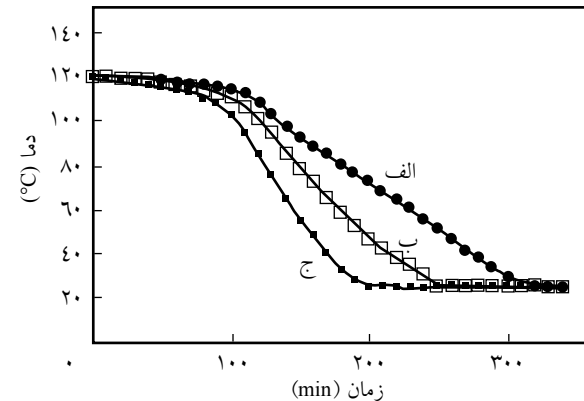
$$N_p = \frac{\sum n_i}{\rho \pi / 6 \sum d_i^3 n_i} \quad (6)$$

d_p چگالی پلی وینیل کلرید و n_i تعداد ذرات با اندازه d_i است.

از طرف دیگر، غلظت زیاد امولسیون کننده نیروهای دافعه الکتروستاتیکی بین سطح ذرات را افزایش می دهد و سبب پایداری

جدول ۳- اثر غلظت امولسیون کننده بر وزن مولکولی و اندازه ذرات.

امولسیون کننده (%)	اندازه ذرات (nm)	K-value
۱/۲	۲۱۰	۶۳
۱/۸	۲۰۰	۶۴/۸
۲/۴	۱۸۰	۶۶/۵



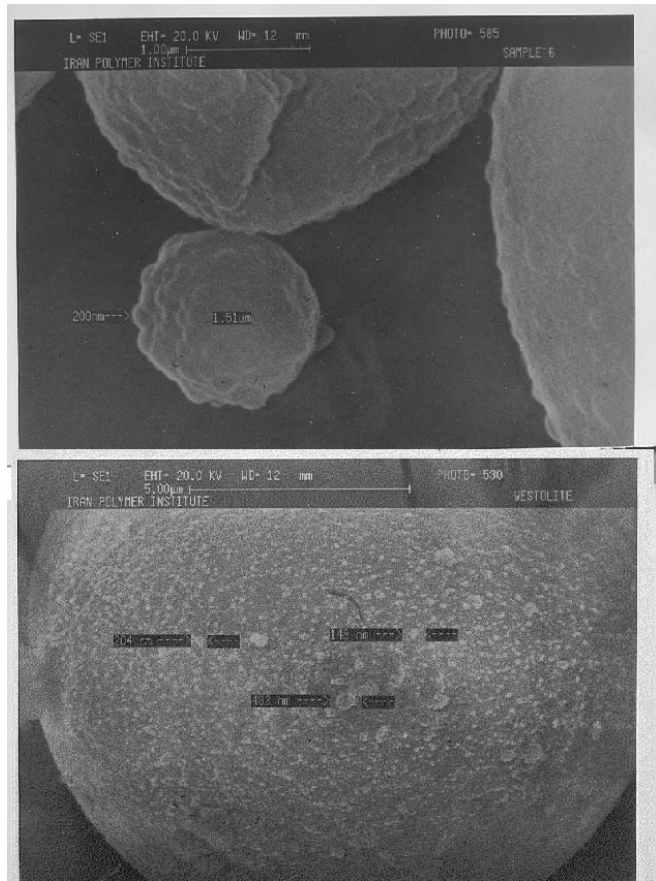
شکل ۵- نمودار فشار بر حسب زمان در اثر افزایش درصد امولسیون کننده: (الف) ۱/۲٪، (ب) ۱/۸٪ و (ج) ۲/۴٪

از آن جا که درجه پلیمر شدن پلی وینیل کلرید با دمای پلیمر شدن رابطه عکس دارد، بنابراین افزایش دمای اولیه واکنش باعث کاهش درجه پلیمر شدن و به تبع آن کاهش وزن مولکولی پلی وینیل کلرید می شود.

اثر امولسیون کننده

مقدار امولسیون کننده از پارامترهای مهم برای کنترل شرایط واکنش و اندازه ذرات است. شکل ۵ نمودار فشار بر حسب زمان را در اثر افزایش درصد امولسیون کننده در ترکیب اجزای واکنش های (۴) تا (۶) از جدول ۱ نشان می دهد. تمام آزمایش ها در دمای ثابت ۵۵°C انجام شد.

این نمودارها دارای دو ناحیه هستند. ناحیه اول که در آن فشار راکتور با غلظت های مختلف امولسیون کننده تقریباً ثابت است و به دلیل مصرف قطره های مونومر در فاز مایع، فشار ثابت است. ناحیه دوم که شبیه دار است و فشار به طور ناگهانی افت می کند. شبیه منحنی فشار- زمان در این ناحیه با افزایش غلظت امولسیون کننده شدیدتر دیده می شود. افزایش غلظت امولسیون کننده سبب می شود تا هسته گذاری بیشتری روی دهد و در نتیجه تعداد ذرات پلیمر زیاد شود. پس از مصرف قطره های مونومر در فاز مایع، تعادل بین فاز گازی و ذرات پلیمر به طرف نفوذ وینیل کلرید گازی به درون ذرات پلیمر سوق می یابد. از آن جا که سطح این ذرات با افزایش غلظت امولسیون کننده به طور مستقیم افزایش می یابد، سرعت نفوذ به درون ذرات پلیمری بشدت بیشتر می شود. بنابراین، سرعت پلیمر شدن بیشتری در ناحیه دوم نمودار با افزایش غلظت امولسیون کننده مشاهده می شود. افزایش درصد امولسیون کننده، زمان رسیدن به نقطه ژل را نیز کاهش می دهد. این مسئله به دلیل افزایش تعداد میسل ها و به تبع آن افزایش غلظت ذرات پلیمری است که باعث می شود، محدوده III در پلیمر شدن امولسیونی سریع تر به وجود آید. تسريع در به وجود



شکل ۶- عکس‌های میکروسکوپی پودر پلی‌وینیل کلرید.

امولسیون‌کننده‌های یونی و غیریونی انجام شد. نتایج نشان می‌دهد، زمان رسیدن به نقطه ژل فرایند با افزایش مقدار فاز آبی مونومری در دمای ثابت تغییری نمی‌کند و فقط مقدار گرمای آزاد شده از واکنش افزایش می‌یابد. اما، افزایش دمای واکنش زمان رسیدن به این نقطه را کاهش می‌دهد.

در نقطه ژل دمای واکنش افزایش و مصرف مونومر وینیل کلرید به شکل تصاعدی از آن نقطه به بعد افزایش می‌یابد و فشار راکتور کاهش می‌یابد. افزایش مقدار امولسیون‌کننده سبب کاهش اندازه ذرات و افزایش وزن مولکولی پلیمر شد. با افزایش دمای واکنش و ثابت بودن سایر شرایط واکنش، وزن مولکولی پلیمر کاهش یافت. توزیع و سطح مؤثر ذرات پودر وینیل کلرید حاصل از این سامانه امولسیون‌کننده برای فرایند تهیه پلاستی سول مناسب است.

بیشتر شیرابه شده و از منعقدشدن آن جلوگیری می‌شود. به کارگیری امولسیون‌کننده غیریونی استاریل الکل در سامانه بسیار حایز اهمیت است. به دلیل وجود زنجیر بلند آلکانی در ساختار این امولسیون‌کننده، مقدار انحلال‌پذیری مونومر آبی افزایش می‌یابد. از طرف دیگر به همین دلایل ساختاری، این امولسیون‌کننده دارای انحلال‌پذیری کم در فاز آبی است و در نتیجه باعث افزایش پایداری نفوذی و انرژی آزاد امولسیون می‌شود [۳۵, ۳۶]. بنابراین، در حین عمل پلیمرشدن با نفوذ مونومر به ذرات پلیمری غلظت امولسیون‌کننده غیریونی در قطره‌های مونومر افزایش می‌یابد. این امر سبب پایداری بیشتر قطره‌های کوچک مونومری می‌شود که می‌تواند عاملی برای کاهش اندازه ذرات نهایی باشد.

پودر پلی‌وینیل کلرید

به منظور بررسی توزیع و اندازه ذرات پلی‌وینیل کلرید، شیرابه حاصل از واکنش (۴) به وسیله خشک کن افشاره‌ای خشک شد. با اندازه‌گیری سطح اندازه ذرات به وسیله دستگاه CHEMBET، مقدار مساحت سطح مخصوص m^2/g به $5/4894$ می‌باشد که بیانگر مطلوب بودن مساحت سطح ذرات به منظور فرایند تهیه پلاستی سول است [۳۷]. در شکل ۷، عکس‌های میکروسکوپی پودر پلی‌وینیل کلرید نشان داده شده است. همان طور که در شکل‌ها مشخص است، نمونه پس از خشک شدن در خشک کن افشاره‌ای دارای توزیع اندازه ذرات مناسب در محدوده $1/51 \mu m$ است که حاصل از واکنش (۵) با مقدار بهینه ترکیب امولسیون‌کننده‌هاست. همان طور که در این شکل دیده می‌شود، ذرات خشک شده به وسیله خشک کن افشاره‌ای از ذرات ریزتر پلیمر با اندازه ذرات متوسط $200 nm$ به وجود آمده است. در حقیقت، همین توزیع مناسب ذرات پلیمر حاصل از پلیمرشدن امولسیونی و تشکیل ذرات بزرگ خشک شده است که می‌تواند سبب یکنواختی و توزیع مناسب پودر در نرم‌کننده برای تهیه پلاستی سول شود.

نتیجه گیری

پلیمرشدن امولسیونی وینیل کلرید با به کارگیری مخلوط

مراجع

- Braun D., Poly(vinyl chloride) on the Way from The 19th Cen-

- tury to The 21st Century, *J. Polym. Sci., Part A: Polym. Chem.*,

- 42, 578-586, 2004.
2. Saeki Y. and Emura T., Technical Progresses for PVC Production, *Prog. Polym. Sci.*, **27**, 2055-2131, 2002.
 3. Xie T.Y., Hamielec A.E., Wood P.E., and Woods D.R., Suspension, Bulk and Emulsion Polymerisation of Vinyl Chloride, *J. Vinyl. Technol.*, **13**, 1-27, 1991.
 4. Karel M. and Marjolijn K., PVC Plastic: A History of Systems Development and Enterenchment, *Technol. Soc.*, **23**, 265-286, 2001.
 5. Ugelstad J., Mork P.C., Dahl P., and Rangnes P., A Kinetic Investigation of the Emulsion Polymerization of Vinyl Chloride, *J. Polym. Sci., Part C*, **27**, 49-68, 1969.
 6. Ashok C., David J., and Poledn A., Review of Specialty PVC Resins, *J. Vinyl. Addit. Technnol.*, **8**, 214-221, 2002.
 7. Fikentscher H., Applications of Synthetic Resin Latice, *US Pat.* 2,068,424, 1931.
 8. Odian G., *Principles of Polymerization*, John Wiley and Sons, 2004.
 9. Endo K. and Kiyoshi E., Synthesis and Structure of Poly(vinyl chloride), *Prog. Polym. Sci.*, **27**, 2021-2054, 2002.
 10. Xie T.Y., Hamielec A.E., Wood P.E., and Woods D.R., Experimental Investigation of Vinyl Chloride Polymerization at High Conversion: Mechanism, Kinetic and Modelling, *Polymer*, **32**, 537-557, 1991.
 11. Wang Q., Shoukuan F., and Tongyin Y., Emulsion Polymerization, *Prog. Polym. Sci.*, **19**, 703-753, 1994.
 12. Alvarez A.E., Ressia J.A., Aparicio L.V., and Brandolin A., Batch Emulsion Polymerisation of Vinyl Chloride, *Lat. Am. Appl. Res.*, **31**, 317-323, 2001.
 13. Toma's A., Rasteiro M.G., Rheology of Poly(vinyl chloride) Plastisol, *J. Appl. Polym. Sci.*, **115**, 599-607, 2009.
 14. Sevdiye A.S., Devrim B.S.U., and Semra U.L., Characterization of Poly(vinyl chloride) Powder Produced by Emulsion Polymerization., *J. Therm. Anal. Calorim.*, **101**, 801- 806, 2010.
 15. Ghurmallah H., Sudol E.D., Victoria L.D., and Mohamed S.A., High PVC Film-Forming Composite Latex Particles via Miniemulsification, *J. Appl. Polym. Sci.*, **101**, 4504-4516, 2006.
 16. Ugelstad J., Berge A., Ellingsen T., Nmses T.N., and Mork P.C., Preparation and Application of New Monosized Polymer Particles, *Prog. Polym. Sci.*, **17**, 87-161, 1992.
 17. Nakajima N. and Harrell E.R., Viscosity Aging of Poly(vinyl chloride) Plastisol, *J. Appl. Polym. Sci.*, **95**, 448-464, 2005.
 18. Yusaku S. and Akira A., Particle Size Control of PVC, *Colloid. Surface. A.*, **153**, 321-323, 1999.
 19. Pourmehr M. and Navarchian H., Batch Emulsion Polymerization of Vinyl Chloride, *J. Appl. Polym. Sci.*, **111**, 338-347, 2009.
 20. Hoefer R., Schmid K., and Bartnick B., Mixed Emulsifier for Emulsion Polymerisation. *US Pat.* 4529762, 1985.
 21. Anderson D. and Farrington S., Emulsion Polymerisation of Vinyl Chloride Polymers using Mixed Emulsifier System, *US Pat.* 4150210, 1979.
 22. Salehi H., Hassannia M., Djalilian M., and Ziae F., Effect of Different Parameters in Emulsion Copolymerization of Vinyl Chloride/VinylAcetate, *Iran. Polym. J.*, **15**, 111-119, 2006.
 23. Kroon G., Gortz C.M., and Lusvardi K., Mixed Hydrophobe Polysaccharide as Polymeric Emulsifier and Stablizer, *US Pat.* 0242739, 2008.
 24. Pham V.H., Optimization of PVC Latex Synthesized by Miniemulsion Polymerization, *Chem. Eng.*, **13**, 1372-1377, 2007.
 25. Toma's A., Gil M.H., Bordado J.C., Goncalves P., and Rodrigues P., Preparation of Poly(vinyl chloride) Latexes Using a Dual Surfactant System, *J. Appl. Polym. Sci.*, **112**, 1416-1424, 2009.
 26. Determination of Viscosity Number and K-Value of Vinyl Chloride Polymers, DIN 53726, 1983.
 27. Standard Test Method for Solution Viscosity of Vinyl Chloride Polymers, ASTM D11243-58, 1995.
 28. Ziae F. and Jalilian S.M., Microstructural Study on Polyvinyl Chloride by One and Two Dimensional Nuclear Magnetic Resonance Spectroscopy Methods, *Iran. J. Polym. Sci. Technol. (In Persian)*, **23**, 311-321, 2010.
 29. Starnes W.H., Structural Defects in Poly(vinyl chloride), *J. Polym. Sci., Polym. Chem.*, **43**, 2451-2467, 2005.
 30. Hamielec A.E. and Xie T., Experimental Investigation of Vinyl Chloride Polymerisation at High Conversion/Temperature/Pressure/Conversion Monomer Phase Distribution Relationships, *J. Appl. Polym. Sci.*, **34**, 1749-1769, 1987.
 31. Friis N. and Hamielec A.E., Kinetic of Vinyl Chloride and Vinyl Acetate Emulsion Polymerisation, *J. Appl. Polym. Sci.*, **19**, 97-113, 1975.
 32. Kuchanov S.J. and Bort D.N., Kinetics and Mechanism of Polymerization Vinyl Chloride, *Polym. Sci. USSR.*, **23**, 2712-2736, 1974.
 33. Pepperl G., Molecular Weight Distribution of Commerical

- Emulsion Grade PVC, *J. Vinyl. Addit. Technol.*, **8**, 209-213, 2002.
34. Wutzel H. and Samhaber M.W., Exploring the Limits of Emulsion Polymerization of Styrene for the Synthesis of Polymer Nanoparticles, *Monatsh. Chem.*, **138**, 357-361, 2007.
35. Landfester K., Joseph S.F., and Victor A.K., Particle Size Distribution in Mini-Emulsion Polymerization, *C.R. Chimie.*, **6**, 1337-1342, 2003.
36. Choi Y.T., El-Aasser M.S., and Sudol E.D., Vanderhoff J.W., Polymerization of Styrene Miniemulsions, *J. Polym. Sci. Polym. Chem.*, **23**, 2973-2987, 1985.
37. Toma's A., Rasteiro M.G., Gando-Ferreira L., and Figueiredo S., Rheology of Poly(vinyl chloride) Plastisol: Effect of a Particular Nonionic Cosurfactant., *J. Appl. Polym. Sci.*, **115**, 599-607, 2009.

Archive of SID